

ИССЛЕДОВАНИЕ ЗАВИСИМОСТИ ТОКА
В ОБМОТКЕ ЭЛЕКТРИЧЕСКОЙ МАШИНЫ,
СНАБЖЕННОЙ ПОЛУПРОВОДНИКОВЫМ КОЛЛЕКТОРОМ,
ОТ ПАРАМЕТРОВ ОБМОТКИ И ЧАСТОТЫ ПЕРЕКЛЮЧЕНИЯ
ПОЛУПРОВОДНИКОВОГО КОЛЛЕКТОРА

Э. Ф. ОБЕРГАН, А. И. СКОРОСПЕШКИН

(Представлена научным семинаром кафедр электрических машин
и общей электротехники)

В настоящей статье приводится часть результатов исследования электромашинного преобразователя с полупроводниковым коллектором в цепи возбуждения, используемым в целях изменения в широких пределах частоты выходного напряжения при постоянстве скорости вращения вала машины.

Характер поведения тока в обмотке электрической машины, снабженной полупроводниковым коллектором, в зависимости от числа выводов и параметров обмотки при различных частотах переключения ячеек коллектора представляет самостоятельный интерес.

Поэтому решение поставленной задачи в настоящей статье производится без учета влияния на ток в обмотке возбуждения остальных цепей и режимов работы электрической машины в целом.

В качестве обмотки возбуждения электрической машины выбрана равномерно распределенная по пазам статора обмотка якорного типа. Выводы от секций обмотки соединены с ячейками полупроводникового коллектора, выполненного по кольцевой схеме на управляемых полупроводниковых вентилях с питанием от источника постоянного тока.

На рис. 1 показана часть полупроводникового коллектора, соединенная с двумя диаметрально расположенными секциями обмотки.

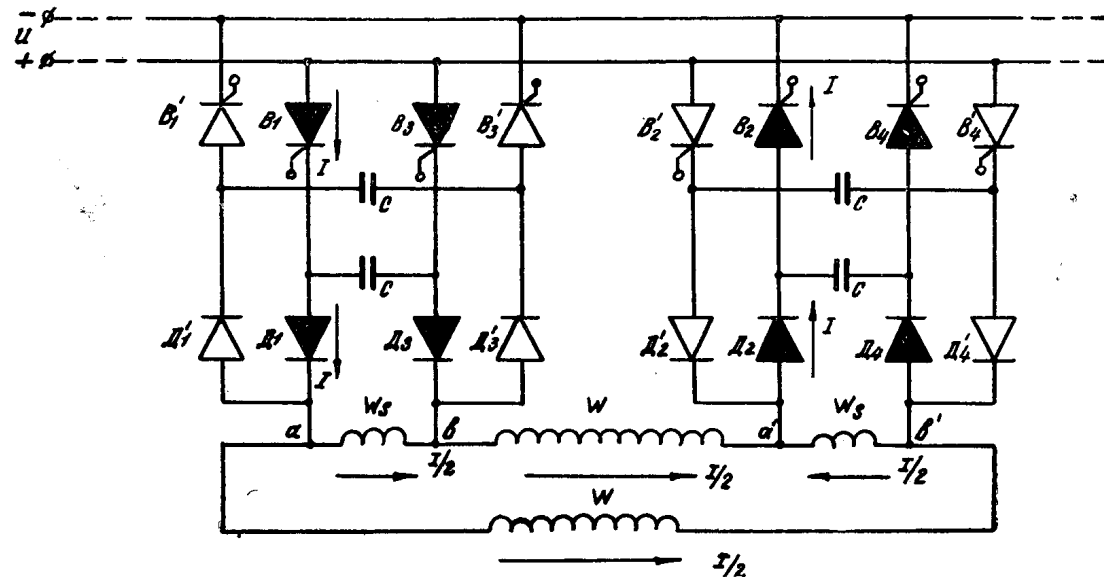


Рис. 1. Электрическая схема двух ячеек полупроводникового коллектора, связанных с диаметрально расположенными секциями обмотки.

Обозначения на рис. 1: W — часть параллельной ветви обмотки возбуждения, W_s — секция или часть обмотки между выводами, U и I — напряжение питания и ток через обмотку, В — управляемые вентили (тиристоры), Д — диоды, С — коммутирующие конденсаторы.

Для удобства рассмотрения процесса коммутации тока в обмотке полупроводниковым коллектором, разобьем цикл коммутации тока в одной секции на два интервала времени:

t_3 — интервал времени замкнутого состояния секции и

t_p — интервал времени после размыкания замкнутой секции.

До начала подачи управляющих импульсов на тиристоры обмотка соединена с источником постоянного тока через открытые тиристоры B_1 и B_2 ячеек коллектора, связанных с диаметральными выводами обмотки.

При этом в параллельной ветви обмотки протекает ток.

$$i_0 = \frac{I}{2} = \frac{U}{R_0}. \quad (1)$$

Здесь $R_0 = r_1 + r_2$ — омическое сопротивление параллельной ветви обмотки, а r_2 — сопротивление секции W_s .

Интервал времени t_3

Этот интервал времени, в котором работают тиристоры B_1 , B_2 , B_3 , B_4 , исчисляется от момента открывания тиристоров B_3 и B_4 при подаче управляющего импульса до момента запирания тиристоров B_1 и B_2 .

Вследствие того, что в этом интервале времени к секции W_s не приложены внешние э. д. с., электромагнитная энергия секций W_s рассеивается, и ток i_0 , протекавший в секции при $t_3=0$, изменяется по экспоненциальному закону

$$i_{W_s}(t) = i_0 \cdot e^{-\frac{r_1+r_2}{L_2} \cdot t_3}, \quad (2)$$

здесь L_2 — индуктивность секции W_s , $i_{W_s}(t)$ — ток в секции W_s в интервале времени t_3 .

Ток в остальной части параллельной ветви W при этом возрастает, изменяясь по закону:

$$i_W(t) = i_0 \left[1 + \frac{r_2}{r_1} \left(1 - e^{-\frac{r_1}{L_1} \cdot t_3} \right) \right], \quad (3)$$

здесь r_1 и L_1 — сопротивление и индуктивность части параллельной ветви W.

$i_W(t)$ — ток в части параллельной ветви без секции W_s в интервале времени t_3 .

Максимальное значение тока i_W при $t_3=\infty$ равно

$$i_W = i_0 \cdot \frac{r_1 + r_2}{r_1} = i'_0. \quad (4)$$

Интервал времени t_p

Этот интервал времени, в котором работают тиристоры B_3 и B_4 , исчисляется с момента запирания вентилей B_1 и B_2 . Процесс запирания вентилей B_1 и B_2 осуществляется коммутирующими конденсаторами С путем разряда их по контурам $C-B_1-B_3$ и $C-B_4-B_2$. Наличие диодов D_1 , D_2 , D_3 и D_4 предотвращает разряд конденсаторов С через секции W_s .

При определении закона изменения тока $i_{\text{пв}}(t)$ в параллельной ветви обмотки $W_{\text{пв}} = W + W_s$ в интервале времени t_p используем принцип наложения, рассматривая переходный процесс как результат двух процессов: стационарного процесса в исходной цепи, представляющей собой параллельную ветвь обмотки с закороченной секцией W_s , и дополнительно установившегося процесса в измененной цепи, представляющей собой параллельную ветвь обмотки с разомкнутой секцией W_s .

Тогда, считая, что к моменту времени $t_p = 0$ ток $i_w(t)$ принял установленное значение, изменение тока в параллельной ветви обмотки $i_{\text{пв}}(t)$ в интервале времени t_p можно определить из уравнения

$$i_{\text{пв}}(t) = i_0 - \frac{e_\phi}{z_1(t) + z_2(t)}, \quad (5)$$

здесь $z_1(t)$ и $z_2(t)$ — полные сопротивления в переходном режиме соответственно части параллельной ветви W обмотки и контура, связанного с секцией W_s ;

$e_\phi = i_0' \cdot z_2(t)$ — фиктивная э. д. с., равная изменению напряжения на концах секции W_s при переходе от интервала t_3 к интервалу t_p .

Решение (5) дает следующий закон изменения тока $i_{\text{пв}}(t)$:

$$i_{\text{пв}}(t) = i_0' \cdot \frac{1}{1 + f(t)}, \quad (6)$$

где

$$f(t) = \left[\frac{r_2}{r_1} \left(1 - e^{-\frac{r_1}{L_1} \cdot t_p} \right) + \frac{L_2}{L_1} \cdot e^{-\frac{r_1}{L_1} \cdot t_p} \right] \times \\ \left[1 - e^{-\frac{r_2}{2 \cdot L_2} \cdot t_p} \cdot \cos \omega t_p \right].$$

Полученные уравнения (2), (3) и (6) описывают поведение тока в обмотке и коммутируемых секциях во всех интервалах времени периода коммутации.

Для удобства дальнейшего анализа, имея в виду, что практически обычно бывают заданы сопротивление и индуктивность всей обмотки и количество выводов обмотки, связанной с полупроводниковым коллектором, введем дополнительно параметры L_0 — индуктивность параллельной ветви обмотки и n — число пар выводов или число выводов в параллельной ветви обмотки.

Принимая во внимание, что

$$R_0 = r_1 + r_2; \quad n = \frac{r_1 + r_2}{r_2} = 1 + \frac{r_1}{r_2}; \quad \tau_0 = \frac{L_0}{R_0},$$

выразим приведенные ранее параметры через общие:

$$r_1 = R_0 \cdot \frac{n-1}{n}; \quad L_1 = L_0 \cdot \left(\frac{n-1}{n} \right)^2; \quad \tau_1 = \frac{L_1}{r_1} = \tau_0 \cdot \frac{n-1}{n}$$

$$r_2 = R_0 \cdot \frac{1}{n}; \quad L_2 = L_0 \cdot \left(\frac{1}{n} \right)^2; \quad r_2 = \frac{L_2}{r_2} = \tau_0 \cdot \frac{1}{n}$$

Тогда уравнения (2), (3) и (6) можно написать следующим образом:

$$i_{w_s}(t) = i_0 \cdot e^{-n^2 \cdot \frac{t_3}{\tau_0}}, \quad (7)$$

$$i_w(t) = i_0 \left[1 + \frac{1}{n-1} \left(1 - e^{-\frac{n}{n-1} \cdot \frac{t_3}{\tau_0}} \right) \right], \quad (8)$$

$$i_{nb}(t) = \frac{i_0 \cdot \frac{n}{n-1}}{1 + \left[\frac{1}{n-1} \left(1 - e^{-\frac{n}{n-1} \cdot \frac{t_p}{\tau_0}} \right) + \frac{1}{(n-1)^2} \cdot e^{-\frac{n}{n-1} \cdot \frac{t_p}{\tau_0}} \right]} \times \\ \times \frac{1}{\left[1 - e^{-\frac{n}{2} \cdot \frac{t_p}{\tau_0}} \cdot \cos \omega t_p \right]}. \quad (9)$$

Разность установившихся значений токов в интервалах времени t_3 и t_p равна

$$\Delta i_0 = i_{w,t_3=\infty} - i_{nb,t_p=\infty} = i_0' - i_0 = i_0 \cdot \frac{1}{n-1},$$

откуда

$$i_0' = i_0 + \Delta i_0 = i_0 \frac{n}{n-1}.$$

При $t_3 \neq \infty$ и $t_p \neq \infty$ по обмотке будет протекать ток, величина которого в параллельной ветви будет равна:

$$i_{cp} = i_0 + \Delta i_{cp}. \quad (11)$$

В этом равенстве Δi_{cp} — среднее значение приращения тока при работе полупроводникового коллектора — является величиной постоянной и зависит от параметров обмотки, числа выводов n и длительности интервалов времени t_3 и t_p .

Принимая во внимание, что

$$t_3 + t_p = T = \frac{1}{f},$$

где T — период коммутации,

f — частота переключения полупроводникового коллектора, определение $\Delta i_{cp} = f(n, f, \tau_0)$ произведем графоаналитическим методом.

Задавшись любыми значениями L_0 , R_0 , n можно по (8) и (9) построить кривые изменения во времени токов $i_w(t)$ и $i_{nb}(t)$. Анализ этих экспоненциальных кривых показывает почти полную их идентичность за исключением некоторого расхождения в начальных участках.

Это обстоятельство позволяет значительно упростить вывод формул для определения Δi_{cp} .

На рис. 2 графически изображен характер изменения тока в обмотке при различных частотах переключения коллектора:

$f_1 = 10$ герц и $f_2 = 42$ герца, число выводов обмотки $n = 10$ и произвольно взятое $t_3 = 0,02$ сек. Величина $t_3 = 0,02$ сек. определяется временем восстановления управляющих свойств тиристоров и зависит только от выбранного типа тиристоров.

Ось абсцисс на рис. 2 выбрана на уровне тока i_0 при $t_3 = 0$, т. е. до начала переключения коллектора.

Из рис. 2 видно, что приращение тока в обмотке Δi_{cp} при любых соотношениях t_3 и t_p достигает установленногося значения через некоторое время t_y .

Для определения зависимости $\Delta i_{cp} = f(n, f, \tau_0)$ примем время t_y за начало координат и рассмотрим на рис. 3 кривую тока за один период частоты переключения полупроводникового коллектора.

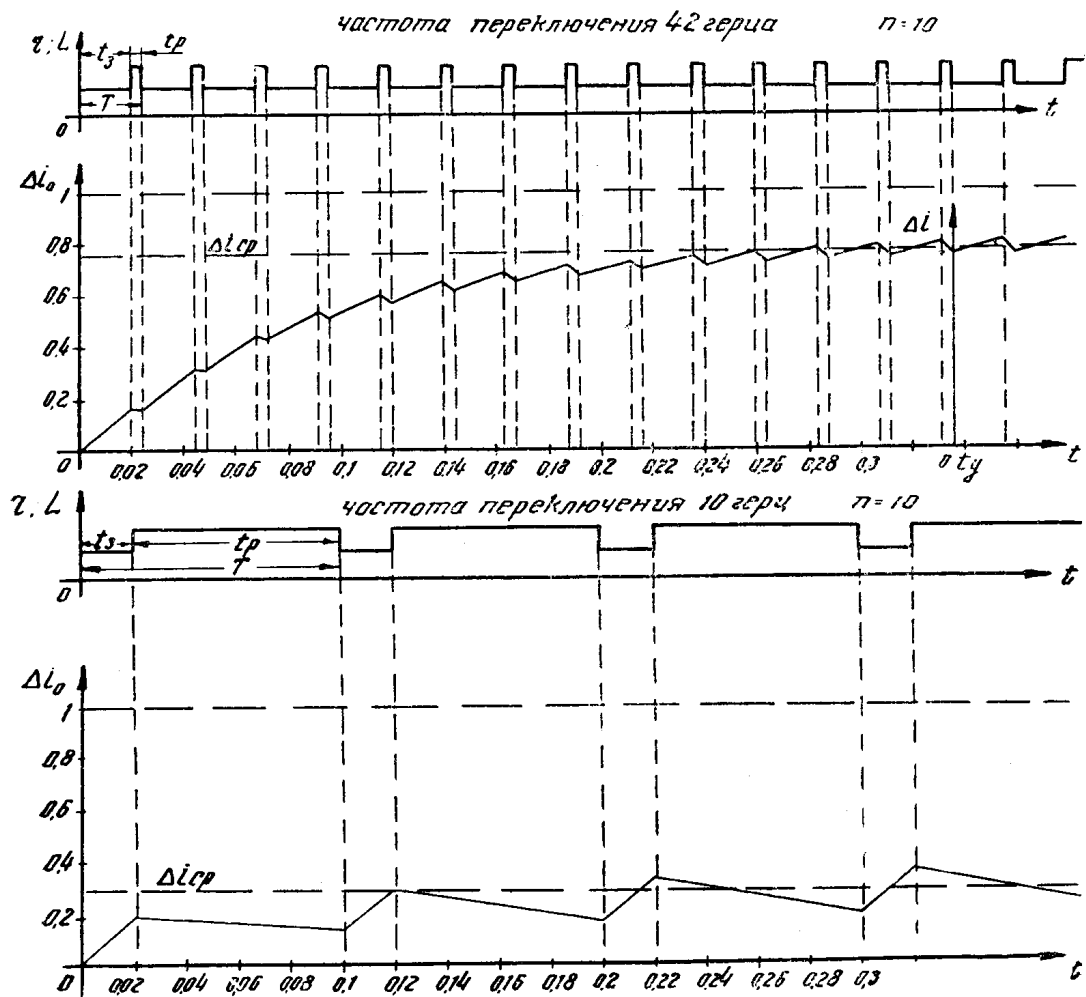


Рис. 2. Графическое определение среднего приращения тока в обмотке Δi_{cp} при переключении полупроводникового коллектора с частотами 10 герц 42 герца.

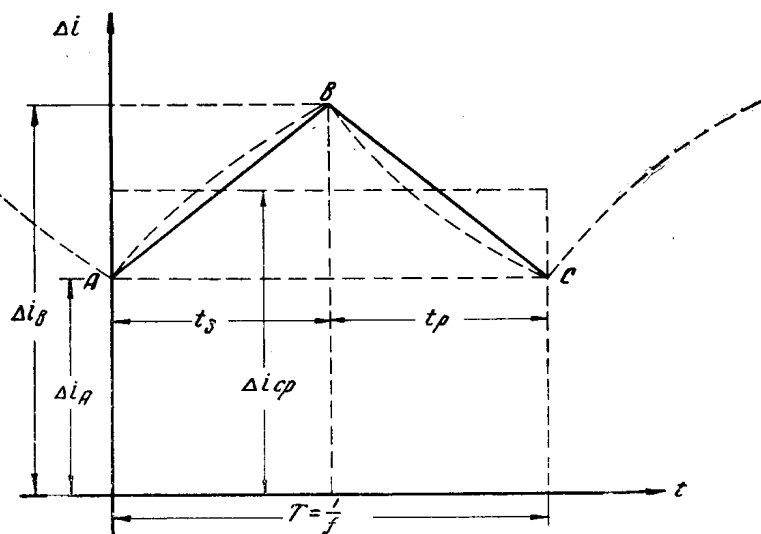


Рис. 3. Кривая изменения приращения тока Δi_0 в обмотке за один период переключения полупроводникового коллектора.

Соединив точки А, В и С прямыми линиями, получим треугольник АВС. Среднее значение тока в обмотке Δi_{cp} будем считать равным

$$\Delta i_{cp} = \frac{1}{2} (\Delta i_A + \Delta i_B) \quad (12)$$

Принимая во внимание принятые выше допущение об идентичности экспоненциальных кривых токов $i_w(t)$ и $i_{nb}(t)$, получим выражения для приращения токов в точках А и В:

$$\Delta i_B = \Delta i_0 \frac{1 - e^{-\frac{t_3}{\tau_1}}}{1 - e^{-\frac{t_3 + t_p}{\tau_1}}} \cdot \frac{-\frac{t_3}{\tau_1}}{\frac{t_3 + t_p}{\tau_1}}, \quad (13)$$

$$\Delta i_A = \Delta i_0 \frac{1 - e^{-\frac{t_3}{\tau_1}}}{1 - e^{-\frac{t_3 + t_p}{\tau_1}}} \cdot e^{-\frac{t_p}{\tau_1}}. \quad (14)$$

Здесь $\tau_1 = \tau_0 \cdot \frac{n-1}{n}$ — принятая единная постоянная времени переходных процессов токов $i_w(t)$ и $i_{nb}(t)$.

Подставляя Δi_A и Δi_B из (14) и (13) в (12), получим

$$\Delta i_{cp} = \Delta i_0 \cdot t_3 \cdot f \cdot \left(1 - \frac{t_p}{2 \cdot \tau_1} \right). \quad (15)$$

Вводя в (15) значения τ_1 и Δi_0 из (10) получим

$$i_0 \cdot \frac{1}{n-1} \left[\left(1 + \frac{t_3 \cdot n}{2 \cdot \tau_0(n-1)} \right) \cdot t_3 \cdot f - \frac{t_3 \cdot n}{2 \cdot \tau_0(n-1)} \right]. \quad (16)$$

Уравнение (16) справедливо для значений частот f переключения полупроводникового коллектора, лежащих в пределах

$$\frac{1}{2 \cdot \tau_0 \cdot \frac{n-1}{n} + t_3} < f < \frac{1}{t_3}. \quad (17)$$

Верхний предел обусловлен принципом работы предложенной схемы полупроводникового коллектора, а именно, при частоте

$$f > \frac{1}{t_3} \quad \frac{t_3}{T} < 1.$$

Такой режим работы нельзя допускать, так как при этом могут быть одновременно замкнуты две, три и более секций обмотки, и работа коллектора нарушается. Нижний предел значения частот в (17) обусловлен тем, что значение Δi_{cp} при малых частотах, когда значение Δi_B не зависит от T , может быть определено только интегральным методом.

Выходы

В обмотке электрической машины, снабженной полупроводниковым коллектором и питаемой от источника постоянного тока, при любых частотах переключения коллектора протекает пульсирующий постоянный ток, среднее значение которого определяется частотой пере-

ключения ячеек полупроводникового коллектора, увеличиваясь с увеличением указанной частоты.

При этом минимальное значение постоянного тока в обмотке определяется подводимым к ней через полупроводниковый коллектор напряжением питания и омическим сопротивлением двух параллельных ветвей обмотки.

Величина максимального приращения среднего значения постоянного тока при максимальной для данной схемы частоте переключения коллектора равна отношению омического сопротивления коммутируемой секции к омическому сопротивлению параллельной ветви обмотки.

При достаточно большом числе выводов обмотки в расчетах электрических машин возможно допущение о неаварийности тока в обмотке от частоты переключения полупроводникового коллектора.

ЛИТЕРАТУРА

1. И. Л. Каганов. Электронные и ионные преобразователи, ч. III. Госэнергоиздат, 1956.
2. Ш. И. Лутидзе. Электрические машины с управляемым полупроводниковым коммутатором. АН СССР, Электроэнергетика, вып. 5, 1962.